

СЗЧ12  
С - 60



ОБЪЕДИНЕННЫЙ ИНСТИТУТ ЯДЕРНЫХ ИССЛЕДОВАНИЙ  
ЛАБОРАТОРИЯ ТЕОРЕТИЧЕСКОЙ ФИЗИКИ

---

В.Г. Соловьев, Т. Шиклош

P-1568

ЭНЕРГИИ ЧЕТНО-ЧЕТНЫХ  
СИЛЬНО ДЕФОРМИРОВАННЫХ ЯДЕР  
В ОБЛАСТИ  $228 \leq A \leq 254$

*Nucl. Phys., 1964, t<sup>59</sup>, n<sup>1</sup>,  
p. 145-158.*

Дубна 1964

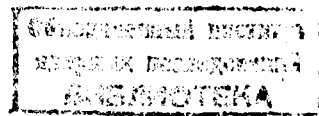
В.Г. Соловьев, Т. Шиклош

P - 1568

ЭНЕРГИИ ЧЕТНО-ЧЕТНЫХ  
СИЛЬНО ДЕФОРМИРОВАННЫХ ЯДЕР  
В ОБЛАСТИ  $228 \leq A \leq 254$

2320/2

Направлено в "Nuclear Physics"



Дубна 1964

С развитием сверхтекучей модели ядра появилась возможность вычислять энергии неротационных возбужденных состояний четно-четных ядер. Основные положения сверхтекучей модели ядра и методы вычислений характеристик сильно деформированных ядер изложены в <sup>/1/</sup>. Наиболее хорошо изучены экспериментально возбужденные состояния четно-четных ядер в области  $150 \leq A \leq 190$ . Анализ экспериментальных данных и вычисления энергий двухквазичастичных возбужденных состояний четно-четных ядер в этой области даны в <sup>/2/</sup>. В дополнение к расчетам в <sup>/2/</sup> были проведены вычисления энергии ядер в этой области, результаты которых приведены в <sup>/3/</sup>.

Первые расчеты энергий двухквазичастичных уровней четно-четных ядер в области  $228 \leq A \leq 254$  были выполнены в <sup>/4/</sup>. Более полные исследования свойств трансураниевых элементов на основе сверхтекучей модели ядра проведены в <sup>/5/</sup>. В этой работе параметры модели были выбраны на основе экспериментальных данных по одноквазичастичным уровням нечетных  $A$ -ядер и парным энергиям. В ней проанализированы вероятности  $\beta$ -переходов и величины энергии двухквазичастичных уровней четно-четных ядер, однако приведены данные только по ядрам  $Ru^{240}$  и  $Cm^{244}$ .

В настоящей работе рассчитаны энергии двухквазичастичных возбужденных состояний четно-четных сильно деформированных ядер в области  $228 \leq A \leq 254$ . Приведены энергии коллективных и двухквазичастичных возбужденных состояний тех ядер, по которым имеются экспериментальные данные о неротационных уровнях. Результаты данной работы совместно с результатами <sup>/5/</sup> позволяют получить энергии двухквазичастичных состояний до 2 Мэв для всех четно-четных ядер с  $138 \leq N \leq 154$  и  $90 \leq Z \leq 100$ .

В расчетах были использованы волновые функции и схемы одночастичных уровней потенциала Нильссона <sup>/6/</sup>. Энергии одночастичных уровней среднего поля  $E(s)$ , корреляционные функции  $S$  и химические потенциалы  $\lambda$  для основных состояний систем, с четным и нечетным числом нуклонов, записаны в таблице 1. Характеристики основных состояний нечетных  $A$ -ядер приведены для полноты. Квантовые числа, характеризующие одночастичные уровни среднего поля обозначены через  $M_{\pi}, \Lambda \pm$ , если  $K = \Lambda + \Sigma$ , и через  $M_{\pi}, \Lambda \mp$ , если  $K = \Lambda - \Sigma$ . Здесь  $M$  - полное число осцилляторных квантов,  $\pi$  - число осцилляторных квантов вдоль оси, перпендикулярной к оси симметрии ядра,  $\Lambda$  - проекция углового момента на ось симметрии ядра,  $\Sigma$  - проекция спина на эту ось. Все величины в таблице 1 приведены в единицах <sup>1/3</sup>  $\hbar \omega_0^0 = 41 A$  Мэв, причем их значения близки к данным <sup>/5/</sup>. Расчеты прово-

дятся при одной и той же равновесной деформации для всех ядер.

Из сравнения рассчитанных значений парных энергий с величинами парных энергий, найденными из разностей масс ядер, в<sup>15/</sup> получены следующие значения констант парного взаимодействия:

$$G_N = \frac{26}{A} \text{ Мэв}, \quad (1)$$

$$G_S = \frac{29}{A} \text{ Мэв.}$$

Эти значения  $G_N$  и  $G_S$  используются в настоящей работе. Заметим, что константы  $G_N$  и  $G_S$ , описываемые (1), употребляются также при расчетах в области  $150 \leq A \leq 190$ .

Результаты расчетов энергий двухквазичастичных и коллективных состояний даны в таблицах 2-11. Сначала приведены данные, относящиеся к коллективным состояниям, далее записаны энергии двухквазичастичных нейтронных и протонных состояний. В сверхтекущей модели ядра коллективные неротационные состояния четно-четных ядер рассматриваются как суперпозиции разного рода двухквазичастичных состояний. Энергии коллективных квадрупольных и октупольных состояний рассчитаны в<sup>7,8/</sup>. В таблицах 2-11 для гамма-вibrационных и октупольных состояний приведено по три двухквазичастичных состояния, которые дают наибольший вклад в данное коллективное состояние. Этот вклад получен из условия нормировки волновой функции соответствующего коллективного состояния. Он выражен в процентах, причем через  $pp$  обозначены нейтронные, а через  $pr$  - протонные двухквазичастичные состояния. Те состояния, которые не проявляются как двухквазичастичные, а участвуют в образовании соответствующих коллективных состояний, в этих таблицах имеют пометку "колл". Для коллективных состояний приведены соответствующие экспериментальные данные, взятые из<sup>9-18/</sup>.

В первой графе части таблиц 2-11, относящейся к двухквазичастичным состояниям, даны их конфигурации, причем через  $K$  обозначен последний заполненный уровень среднего поля в модели независимых частиц, через  $K+1$  - первый незаполненный уровень и т.д. Квантовые характеристики состояний  $K, K+1, K-1$  и других записаны внизу соответствующей части таблицы. Во второй колонке приведены проекция полного момента на ось симметрии ядра  $K$  и четность  $\pi$ , причем сначала - их значения для состояний с  $\Sigma = 0$ , которые, согласно правилу Галлахера, имеют меньшую энергию, а ниже - с  $\Sigma = 1$ . Заметим, что в тех случаях, когда для одного из состояний дублета  $K\pi = 0-$ , то, как показано в<sup>10/</sup>, правило Галлахера нарушается и состояние с  $K \neq 0$  всегда имеет более низкую энергию, а энергия спинового расщепления оказывается малой. Далее приведены энергии двухквазичастичных состояний, рассчитанные на основе сверхтекущей модели ядра с учетом эффекта блокировки. В этих таблицах приведены энергии всех двухквазичастичных состояний до 2 Мэв.

Заметим, что в<sup>20/</sup> предложен более точный метод для расчета энергий двухквазичастичных состояний. Сравнения результатов, полученных в<sup>20/</sup>, с нашими показывают, что точность настоящих расчетов является достаточно хорошей.

Энергии коллективных состояний, рассчитанные на основе сверхтекущей модели ядра, достаточно хорошо согласуются с соответствующими экспериментальными данными. Ряд состояний обладает ярко выраженнымми коллективными свойствами. Например, в  $Tl^{228}$  для гамма-вibrационного состояния наибольшие вклады от двухквазичастичных состояний равны 16%, 8% 7% и т.д. Другие коллективные состояния по своим свойствам приближаются к двухквазичастичным. Так, например, в состоянии с  $K\pi = 2-$  в  $U^{234}$  двухквазичастичное нейтронное состояние  $631\downarrow - 743\downarrow$  дает вклад, равный 78%. Если вклад одного двухквазичастичного состояния в данное коллективное состояние превышает 95%, то такое состояние рассматривается как двухквазичастичное. Например, в  $U^{234}$  в наименее состояние с  $K\pi = 3-$  двухквазичастичное нейтронное состояние  $631\downarrow - 743\downarrow$  дает вклад, равный 99,8%.

Ряд двухквазичастичных состояний с  $K\pi$ , соответствующим квадрупольным и октупольным состояниям, не принимает участия в образовании коллективных состояний. Они проявляются только как чистые двухквазичастичные состояния. Так, например, в случае  $K\pi = 2+$  нейтронное состояние  $631\downarrow - 622\downarrow$ , протонные состояния  $523\downarrow - 530\downarrow$ ,  $514\downarrow - 521\downarrow$  и другие проявляются только как двухквазичастичные.

Как было отмечено выше, расчеты проведены при одном и том же положении уровней среднего поля для всех ядер, т.е. как бы при одной равновесной деформации для всех ядер. Однако для легких изотопов  $Tl$  и  $U$  равновесные деформации несколько меньше, чем для остальных ядер в области  $228 \leq A \leq 254$ , поэтому точность расчетов для них может быть несколько худшей, чем для остальных ядер. Вычисления не проводились для изотопов с  $A < 228$ , поскольку для них пришлось бы изменить положение уровней среднего поля по сравнению с данными в таблице 1. Как известно, нет экспериментальных данных об одноквазичастичных уровнях нечетных  $A$ -ядер с  $N > 153$  и  $Z > 99$ , и поэтому неясно, насколько правильно схемой Нильссона описывается положение уровней среднего поля с  $N > 153$  и  $Z > 99$ . В связи с этим результаты расчетов энергий коллективных и двухквазичастичных возбужденных состояний для изотопов  $Cf$  и  $Fm$  являются менее надежными, чем для остальных ядер.

Данные, приведенные в таблицах 2-11 и<sup>5/</sup> для  $Pu^{240}$  и  $Cm^{244}$ , позволяют найти энергии двухквазичастичных состояний для всех изотопов  $Tl$ ,  $U$ ,  $Pu$ ,  $Cm$ ,  $Cf$  и  $Fm$  в области  $228 \leq A \leq 254$ . Это связано с тем, что энергии двухквазичастичных уровней одинаковы для всех ядер с данными  $Z$  или данными  $N$ .

Так, например, для  $^{98}_{\Lambda} \text{Cf}_{150}^{248}$  двухквазичастичные протонные уровни даны в таблице 10, а нейтронные — в таблице 9.

Экспериментальные данные об двухквазичастичных уровнях четно-четных ядер в области  $228 \leq A \leq 254$  чрезвычайно скучны. Так, имеется двухквазичастичное состояние в  $\text{Cm}^{244}$  с  $K\pi = 6+$  и конфигурацией  $pp \quad 622\downarrow + 624\downarrow$ , энергия которого, согласно<sup>15/</sup>, равна 0,92 Мэв, что хорошо согласуется с экспериментальным значением 1,042 Мэв. Вычисленная величина  $\log ft = 6,0$  для  $\beta^-$ -распада  $\text{Am}^{244}$  с  $K\pi = 8-$  на данное состояние  $\text{Cm}^{244}$  практически совпадает со значением  $\log ft = 5,9$ , полученным на опыте. Имеющиеся экспериментальные данные указывают на существование сравнительно низколежащих двухквазичастичных состояний в  $\text{Th}^{228}$ ,  $\text{U}^{234}$ ,  $\text{Pa}^{240}$  и в других ядрах, однако для определения величин  $K\pi$  и конфигураций двухквазичастичных состояний необходимы дальнейшие экспериментальные исследования. Можно надеяться, что данные по энергиям неротационных возбужденных состояний, приведенные в таблицах 2-11, окажутся полезными при анализе экспериментальных данных.

В заключение выражаем благодарность Т. Верешу, принимавшему участие в начальной стадии настоящего исследования, и Н.А. Бузданиной за проведение численных расчетов.

#### Л и т е р а т у р а

1. V.G. Soloviev. Selected topics in nucl. theory., p.233, 1963 (Vienna).  
В.Г. Соловьев. Влияние парных корреляций сверхпроводящего типа на свойства атомных ядер. Атомиздат, 1963.
2. C.J. Gallagher, V.G. Soloviev. Mat. Fys. Skr. Dan. Vid. Selsk., 2, N.2 (1962).
3. Н.И. Пятов, В.Г. Соловьев. Известия АН СССР, сер. физич. (в печати).
4. В.Г. Соловьев. ЖЭТФ, 40, 654 (1961).
5. Т. Вереш, В.Г. Соловьев, Т. Шиклош. Известия АН СССР, сер. физич., 26, 1045 (1962).
6. S. Nilsson. Mat. Fys. Medd. Dan. Vid. Selsk., 29, N.16 (1955);  
B. Mottelson, S. Nilsson. Mat. Fys. Skr. Dan. Vid. Selsk., 1, N.6 (1959).
7. Лю Юань, В.Г. Соловьев, А.А. Корнейчук. ЖЭТФ (в печати).
8. В.Г. Соловьев, П. Фогель, А.А. Корнейчук. Изв. АН СССР, сер. физич. (в печати);  
В.Г. Соловьев, Н. Фогель. Phys. Lett., 6, 126 (1963).
9. S. Bjornholm, M. Lederer, F. Asaro, I. Perlman. Phys. Rev., 130, 2000 (1963).

10. E. Arbman, O.B. Nielsen, S. Bjornholm. Nucl. Phys., 21, 406 (1960).  
R.A. Bell, S. Bjornholm, J.C. Severiens. Kgl. Dansk. Vid. Selsk. Mat. Fys. Medd. 32, No. 12 (1960).
11. F.K. McGowan, P.H. Stelson. Phys. Rev., 120, 1803 (1960).
12. S. Bjornholm, F. Boehm, A.B. Knutson, O.B. Nielsen. Nucl. Phys., 42, 469 (1963).
13. C.L. Gallagher, T.D. Thomas. Nucl. Phys., 14, 1 (1959/60);  
P.G. Hansen, K. Wilsky, S. Bjornholm. Nucl. Phys., 45, 417 (1963).
14. A.B. Smith. Nucl. Phys., 47, 633 (1963).
15. J. Borggreen, O.B. Nielsen, H. Nordby. Nucl. Phys., 29, 515 (1962);  
R.G. Albridge, J.M. Hollander. Nucl. Phys., 21, 438 (1960).
16. S.E. Vandenbosch, P. Day. Nucl. Phys., 37, 482 (1962).
17. S.E. Vandenbosch, H. Diamond, R.K. Sjöblom, P.R. Fields. Phys. Rev., 115 (1962).
18. J.M. Hollander, C.L. Nordling, K. Siegbahn. Arkiv for Fys., 23, 35 (1963).
19. Н.И. Пятов. Известия АН СССР, сер. физическая 27, 1436 (1963).
20. И.Н. Михайлов. ЖЭТФ, 45, 1102 (1963).

Рукопись поступила в издательский отдел  
18 февраля 1964 г.

ТАБЛИЦА 1

Одночастичные уровни среднего поля

$\frac{Z}{N}$	$N_n \Lambda \Sigma$	$E(\text{eV})$	Четная система		Нечетная система	
			$\frac{Z+1}{N+1}$	$\lambda/\text{кэВ}$	$\frac{Z}{N}$	$\lambda/\text{кэВ}$
Протонная система						
89	65I↑	0,68	0,I4I	0,753	0,I2I	0,733
91	530↑	0,75	0,I30	0,803	0,I05	0,788
93	642↑	0,83	0,I20	0,859	0,093	0,823
95	523↓	0,86	0,I10	0,92I	0,076	0,899
97	52I↑	0,98	0,I09	0,987	0,077	0,94I
99	633↑	0,99	0,I04	I,045	0,074	I,025
Нейтронная система						
I37	63I↑	0,7I	0,II9	0,734	0,I00	0,7II
I39	752↑	0,72	0,II2	0,778	0,09I	0,759
I4I	633↓	0,78	0,I04	0,826	0,078	0,803
I43	743↑	0,85	0,099	0,880	0,068	0,850
I45	63I↓	0,90	0,097	0,936	0,06I	0,9I0
I47	622↑	0,97	0,099	0,994	0,059	0,964
I49	624↓	I,03	0,I07	I,048	0,068	I,023
I5I	734↑	I,I0	0,II7	I,094	0,084	I,070
I53	620↑	I,I7	0,I26	I,I33	0,I0I	I,I09

ТАБЛИЦА 2

Энергетические уровни  $T_{\text{h}}^{118}$ 

Коллективные состояния					
КП	Энергия (МэВ)		Структура состояния		
	Расчет.	Эксперимент.			
0-	0,14	0,328	nn633↑-752↑ 20%, nn631↑-761↑ 17%, pp660↑-530↑ 13%		
2+	0,6	0,969	nn743↑-761↑ 16%, nn631↑+631↑ 8%, pp532↑- 530↑ 7%		
0+					
2-	I,4	I,I23	nn631↑-743↑ 65%, pp642↑-530↑ 13%, pp651↑+530↑ 8%		
I-	I,I		nn631↑-752↑ 64%, pp651↑-530↑ 12%, nn633↑-761↑ 5%		
Двухквазичастичные состояния					
Нейтронные					
Состояние	КП	Энергия (МэВ)	Состояние	КП	Энергия (МэВ)
K,K+I	I- колл. 4-	I,3	K,K+I	I- колл. 2-	I,7
K,K+2	4+ I+	I,4	K+I,K+2	2- колл. 3-	I,8
K+I,K+2	5- 0- колл.	I,4	K-I,K+I	2+ колл. I+	I,8
K-I,K+I	I+ 4+	I,5	K,K+2	I+ 4+	I,9
K-I,K	3- 0- колл.	I,5	K+I,K+3	3+ 2+	I,2,0
K-I,K+2	4- I- колл.	I,6	K-I,K+2	4- I-	2,0
K-2,K+I	4- 9-	I,7	K-2,K+I	0- колл.	2,0
K-2,K	5+ 8+ 2- колл.	I,7	K,K+3	4- I-	2,0
K,K+3	5- 8-	I,8	K-I,K	3- 0- колл.	2,I
K+I,K+3	I+ 6+	I,8	K+2,K+3	5- 0- колл.	2,3
K+2,K+3	6- I- колл.	2,0			
K-2,K-I	5- 8-	2,0			

K-2=606↑ , K-I =76I↑ , K=63I↑  
K+I=752↑ , K+2 =633↓ , K+3 =743↑ .K-2=400↑ , K-I =532↑ , K= 65I↑  
K+I =530↑ , K+2 =642↑ , K+3 =523↓ .

ТАБЛИЦА 3  
Энергетические уровни  $^{110}_{50}Th_{140}$

Коллективные состояния					
КП	Энергия (МэВ)		Структура состояния		
	Расчет.	Эксперимент.			
0-	0,50	0,508	nn633↓-752↑ 27%, pp660↑-530↑14%, nn631↓-761↑10%		
0+	0,5	0,634			
2+	0,74	0,783	nn743↓-761↑10%, nn631↑+631↓13%, nn633↓-631↓ 12,6 %		
I-	I, I	0,954	nn631↓-752↑39%, nn633↓-743↑30%, pp651↑-530↑14%		
2-	I, 4		nn631↓-743↑84%, pp642↑-530↑6%, pp651↑+530↑ 3%		
Двухквазичастичные состояния					
Нейтронные			Протонные		
Состояние	КП	Энергия (МэВ)	Состояние	КП	Энергия (МэВ)
K, K+I	5- 0- колл.	I, 2	K, K+I	1- 2- колл.	I, 7
K-I, K+I	4+ I+	I, 3	K+I, K+2	2- 3- колл.	I, 8
K, K+2	1+ 6+	I, 5	K-I, K+I	2+ 1- колл.	I, 8
K+I, K+2	6- 1- колл.	I, 5	K, K+2	1+ 4+	I, 9
K-I, K	1- 4- колл.	I, 5	K+I, K+3	3+ 2+	2, 0
K-I, K+2	2- 5- колл.	I, 5	K-I, K+2	4- 1-	2, 0
K-2, K+I	4- 1- колл.	I, 6	K-2, K+I	0- 1- колл.	2, 0
K, K+3	3- 2- колл.	I, 8	K, K+3	4- 1-	2, 0
K+I, K+3	2+ 3+ колл.	I, 8	K-I, K	3- 0- колл.	2, 1
K-2, K	I+ 4+ 4- колл.	I, 9	K+2, K+3	1- 6- колл.	2, 2
K-2, K-I	3- 0- колл.	I, 9	K-2, K-I	4- 1- колл.	2, 0
K-2=761↑, K-I =631↑, K= 752↑, K+I =633↓, K+2 = 743↑, K+3 = 631↓			K-2 =400↑, K-I =532↓, K= 651↑, K+I =530↑, K+2 = 642↑, K+3 = 523↓		

ТАБЛИЦА 4  
Энергетические уровни  $^{112}_{50}Th_{442}$

Коллективные состояния					
КП	Энергия (МэВ)		Структура состояния		
	Расчет.	Эксперимент.			
0+	-	0,725			
2+	0,85	0,788	nn633↓-631↓25%, nn631↑+631↑ 15%, nn743↓-761↑ 13%		
0-	0,8	1,045	nn633↓-752↑20%, pp660↑-530↑16%, nn622↑-752↑ 10%		
Двухквазичастичные состояния					
Нейтронные			Протонные		
Состояние	КП	Энергия (МэВ)	Состояние	КП	Энергия (МэВ)
K, K+I	6- 1- колл.	I, I	K, K+I	I- колл.	I, 7
K, K+2	2+ 3+ колл.	I, 4	K+I, K+2	2- колл.	I, 8
K-I, K+I	I+ 6+	I, 4	K-I, K+I	2+ колл.	I, 8
K-2, K+I	2- 5- колл.	I, 5	K, K+2	I+ 4+	I, 9
K+I, K+2	4- 3-	I, 5	K+I, K+3	3+ 2+	2, 0
K-I, K+2	3- 2-	I, 6	K-I, K+2	4- I-	2, 0
K-I, K	5- 0- колл.	I, 7	K-2, K+I	I- колл.	2, 0
K-2, K	4+ I+	I, 7	K, K+3	4- I-	2, 0
K, K+3	5+ 0+ колл.	I, 8	K-I, K	3- 0- колл.	2, 1
K+I, K+3	1- 6- колл.	I, 9	K+2, K+3	5- 0- колл.	2, 2
K-2, K-I	4- 1- колл.	2, 0			
K+2, K+3	3+ 2+	2, 1			

K-2=631↑, K-I =752↑, K= 633↓  
K+I =743↑, K+2 = 631↓, K+3 = 622↑

K-2 =400↑, K-I = 532↓, K = 651↑  
K+I =530↑, K+2 = 642↑, K+3 = 523↓

ТАБЛИЦА 5  
Энергетические уровни  $^{140}_{\Lambda} U$

Коллективные состояния					
KΠ	Энергия (Мэв) Расчет.	Энергия (Мэв) Эксперимент.	Структура состояния		
0-	0,60	0,564	$\pi\pi 633\downarrow - 752\uparrow 30\%$ , $\pi\pi 631\uparrow - 761\uparrow 10\%$ , $\rho\rho 651\uparrow - 521\uparrow 9\%$		
0+	0,8	0,693			
2+	0,9	0,868	$\pi\pi 743\uparrow - 761\uparrow 20\%$ , $\pi\pi 631\uparrow + 631\downarrow 14\%$ , $\pi\pi 633\downarrow - 631\downarrow 14\%$		
2-	I, I	(I, 0I8)	$\pi\pi 631\uparrow - 743\uparrow 75\%$ , $\rho\rho 642\uparrow - 530\uparrow 16\%$ , $\pi\pi 642\downarrow - 743\uparrow 2\%$		
I-	I, I		$\pi\pi 631\uparrow - 752\uparrow 42\%$ , $\pi\pi 633\downarrow - 743\uparrow 33\%$ , $\rho\rho 651\uparrow - 530\uparrow 7\%$		
Двухквазичастичные состояния					
Нейтронные			Протонные		
Состояние	KΠ	Энергия (Мэв)	Состояние	KΠ	Энергия (Мэв)
K, K+I	5- 0- колл.	I, 2	K, K+I	2- колл. 3-	I, 4
K-I, K+I	4+ I+	I, 3	K, K+2	3+ 2+	I, 5
K, K+2	I+ 6+	I, 5	K+I, K+2	5- 0- колл.	I, 7
K+I, K+2	3- I- колл.	I, 5	K-I, K+I	I+ 4+	I, 8
K-I, K	I- колл. 4-	I, 5	K-I, K+2	4- I-	I, 9
K-I, K+2	2- колл. 5-	I, 5	K-2, K+I	4- I-	2,0
K-2, K+I	4- I- колл.	I, 6	K-I, K	2- колл. I-	2,0
K, K+3	3- 2-	I, 8	K-2, K	2+ колл. I+	2,2
K+I, K+3	2+ колл. 3+	I, 8	K, K+3	5+ 0+ колл.	I, 8
K-2, K	I+ 4+	I, 8	K+I, K+3	I- колл. 6-	I, 9
K-2, K-I	3- 0- колл.	I, 9	K-2, K-I	I- колл. 4-	2,0

K-2 = 761↑, K-I = 631↑, K = 752↑  
K+I = 633↓, K+2 = 743↑, K+3 = 631↓

K-2 = 532↓, K-I = 651↑, K = 530↑  
K+I = 642↑, K+2 = 523↓

ТАБЛИЦА 6  
Энергетические уровни  $^{140}_{\Lambda} U$

Коллективные состояния					
KΠ	Энергия (Мэв)		Структура состояния		
	Расчет.	Эксперимент.			
0-	0,86	0,788	$\pi\pi 633\downarrow - 752\uparrow 23\%$ , $\pi\pi 622\uparrow - 752\uparrow 11\%$ , $\rho\rho 651\uparrow - 521\uparrow 11\%$		
0+		0,8II			
2+	0,9	0,922	$\pi\pi 633\downarrow - 631\downarrow 30\%$ , $\pi\pi 631\uparrow + 631\downarrow 16\%$ , $\pi\pi 743\uparrow - 761\uparrow 14\%$		
2-	I, 3	(I, 240)	$\pi\pi 631\uparrow - 743\uparrow 78\%$ , $\rho\rho 642\uparrow - 530\uparrow 15\%$ , $\rho\rho 651\uparrow + 530\uparrow 1\%$		
0+		I, 049			
I-	I, 4		$\pi\pi 633\downarrow - 743\uparrow 84\%$ , $\pi\pi 622\uparrow - 743\uparrow 4\%$ , $\rho\rho 651\uparrow - 530\uparrow 3\%$		
Двухквазичастичные состояния					
Нейтронные					
Состояние	KΠ	Энергия (Мэв)	Состояние	KΠ	Энергия (Мэв)
K, K+I	6- I- колл.	I, I	K, K+I	2- колл. 3-	I, 4
K, K+2	2+ колл. 3+	I, 4	K, K+2	3+ 2+	I, 5
K-I, K+I	I+ 6+	I, 4	K+I, K+2	5- 0- колл.	I, 6
K-2, K+I	2- колл. 5-	I, 5	K-I, K+I	I+ 4+	I, 8
K+I, K+2	4- I- колл.	I, 5	K-I, K+2	4- I-	I, 9
K-I, K	5- 0- колл.	I, 6	K-2, K+I	4- I-	2,0
K-2, K	4+ I+	I, 7	K-I, K	I- колл. 2- колл.	2,0
K, K+3	5+ 0+ колл.	I, 8	K-2, K	2+ колл. I+	2,2
K+I, K+3	I- колл. 6-	I, 9			
K-2, K-I	I- колл. 4-	2,0			
Протонные					

K-2 = 631↑, K-I = 752↑, K = 633↓, K+I = 743↑  
K+2 = 631↓, K+3 = 622↑

K-2 = 532↓, K-I = 651↑, K = 530↑  
K+I = 642↑, K+2 = 523↓

ТАБЛИЦА 8  
Энергетические уровни  $P_{94}^{235}$

Коллективные состояния					
KΠ	Энергия (МэВ)		Структура состояния		
	Расчет.	Эксперимент.			
0-	0,9	0,679	nn624↓-743↑ 16%, pp651↑-521↑ 12%, pp660↑-530↑ 10%		
0+		0,930			
2+	I,2	I,062	nn622↑-620↑ 18%, nn633↓-631↓ 16%, pp532↓+530↑ 6%		

Двухквазичастичные состояния					
Нейтронные			Протонные		
Состояние	KΠ	Энергия (МэВ)	Состояние	KΠ	Энергия (МэВ)
K, K+I	3+	0,9	K, K+I	2-	I,4
K-I, K+I	I-	I,3	K, K+2	3+	I,5
K, K+2	3+	I,3	K+I, K+2	5- колл.	I,6
K-I, K	4-	I,5	K-I, K+I	4+	I,8
K-I, K+2	7- 0- колл.	I,6	K-I, K+2	4-	I,8
K+I, K+2	6+ I+	I,6	K-2, K+I	4-	I,9
			K-I, K	2-	2,0
K-2, K+I	5+ 0- колл.	I,7	K-2, K	2+ колл.	2,2
K, K+3	5- 4- 2+ колл.	I,8	K, K+3	I+ 2+ колл.	2,2
K-2, K	3+	2,0	K, K+3	2+ колл.	2,2
K+I, K+2	6+ I+	2,0			

Нейтронные			Протонные		
Состояние	KΠ	Энергия (МэВ)	Состояние	KΠ	Энергия (МэВ)
K, K+I	4- 3-	0,9	K, K+I	5- 0- колл.	I, I
K, K+2	I- колл. 6-	I,3	K-I, K+I	3+ 2+	I,6
K-I, K+I	2+ колл. 3+	I,3	K-I, K	2- 3-	I,7
K+I, K+2	3+ 2+	I,5	K, K+2	I- колл. 4-	I,8
K-I, K	6- I- колл.	I,6	K, K+3	I+ 6+	I,8
K-I, K+2	5+ 0+ колл.	I,6	K+I, K+2	4+ I+	I,8
K-2, K+I	3- 2-	I,7	K+I, K+3	6- I-	I,9
K, K+3	7- 0- колл.	I,7	K-2, K+I	4- I-	2,0
K+I, K+3	3+ 4+	I,9	K-I, K+2	I+ 2+ колл.	2,0
K-2, K	I+ 6+	I,9	K-2, K	I+ 4+	2,1
K+2, K+3	6+ I+	2,2			

ТАБЛИЦА 7  
Энергетические уровни  $^{92}_{\Lambda} U^{238}$

Коллективные состояния					
KΠ	Энергия (МэВ)	Структура состояния			
0-	0,9	nn624↓-743↑ 16%, pp651↑-521↑ 12%, pp660↑-530↑ 10%			
0+	0,930				
2+	I,2	I,062	nn622↑-620↑ 18%, nn633↓-631↓ 16%, pp532↓+530↑ 6%		

Двухквазичастичные состояния					
Нейтронные			Протонные		
Состояние	KΠ	Энергия (МэВ)	Состояние	KΠ	Энергия (МэВ)
K, K+I	3+	0,9	K, K+I	2-	I,4
K-I, K+I	I- 6-	I,3	K, K+2	3+	I,5
K, K+2	3+ 4+	I,3	K+I, K+2	5- колл. 0- колл.	I,6
K-I, K	4- 3-	I,5	K-I, K+I	4+	I,8
K-I, K+2	7- 0- колл.	I,6	K-I, K+2	I- 1-	I,8
K+I, K+2	6+ I+	I,6	K-2, K+I	3- 2-	I,9
			K-2, K	2-	2,0
K-2, K+I	5+ 0+ колл.	I,7	K, K+3	I+ 2+ колл.	2,2
K, K+3	5- 4- 2+ колл.	I,8	K+I, K+3	4+ I+	2,2
K-2, K	3+	2,0	K-2, K	I+ 4+	2,1
K+I, K+2	6+ I+	2,0			

K-2= 633↓, K-I = 743↑, K=631↓  
K+I= 622↑, K+2 = 624↑, K+3 = 734↑

K-2 = 532↓, K-I = 651↑, K= 530↑  
K+I = 642↑, K+2 = 523↑, K+3 = 521↑ .

K-2= 752↑, K-I = 633↓, K= 743↑  
K+I = 631↓, K+2 = 622↑, K+3 = 624↑

K-2 = 651↑, K-I = 530↑, K= 642↑  
K+I = 523↓, K+2 = 521↑, K+3 = 633↑.

ТАБЛИЦА 9

Энергетические уровни  $^{96}Cm_{150}^{246}$ 

Коллективные состояния					
КП	Энергия (МэВ)		Структура состояния		
	Расчет.	Эксперимент.			
2+	0,8		nn622 $\dagger$ -620137%, nn624 $\dagger$ -622 $\dagger$ 24%, nn622 $\dagger$ + 620 $\dagger$ 6 %		
0+					
0-	I,2		pp651 $\dagger$ -521 $\dagger$ 17%, pp642 $\dagger$ -523 $\dagger$ 14%, nn631 $\dagger$ -761 $\dagger$ 14 %		
2-	I,I		nn622 $\dagger$ -734 $\dagger$ 61%, pp633 $\dagger$ -521 $\dagger$ 32%, nn624 $\dagger$ -725 $\dagger$ 1 %		
Двухквазичастичные состояния					
Нейтронные			Протонные		
Состояние	КП	Энергия (МэВ)	Состояние	КП	Энергия (МэВ)
K,K+I	8- I-	I,I	K,K+I	4+ I+	I,3
K-I,K+I	2- колл. 7-	I,4	K,K+2	6- I-	I,3
K,K+2	4+ 3+	I,5	K,I,K+I	I- 4-	I,5
K-I,K	6+ I+	I,5	K-I,K+2	I+ 6+	I,5
K,K+3	7+ 0+ колл.	I,6	K+I,K+2	2- колл. 5-	I,7
K-I,K+2	2+ колл. 3+	I,7	K-I,K	5- 0- колл.	I,8
K+I,K+2	4- 5-	I,8	K,K+3	I+ 6+	I,8
K-2,K+I	5- 4-	I,8	K-2,K+I	I+ 2+ колл.	2,0
K+I,K+3	I- 8-	I,9			
K-2,K	3+ 4+	I,9			
K+I,K+4	6- 3-	2,0			

K-2 = 631 $\downarrow$ , K-I = 622 $\dagger$ , K = 624 $\dagger$       K-2 = 530 $\dagger$ , K-I = 642 $\dagger$ , K = 523 $\dagger$ ,  
 K+I = 734 $\dagger$ , K+2 = 620 $\dagger$ , K+3 = 613 $\dagger$ , K+4 = 622 $\dagger$       K+I = 521 $\dagger$ , K+2 = 633 $\dagger$ , K+3 = 514 $\dagger$ .

ТАБЛИЦА 10  
Энергетические уровни  $^{96}Cf_{150}^{250}$ 

КП	Энергия (МэВ)		Структура состояния		
	Расчет.	Эксперимент.			
2+	0,8	I,032	nn622 $\dagger$ -620 $\dagger$ 26%, nn624 $\dagger$ -622 $\dagger$ 25%, nn622 $\dagger$ + 620 $\dagger$ 18 %		
0+					
Двухквазичастичные состояния					
Нейтронные			Протонные		
Состояние	КП	Энергия (МэВ)	Состояние	КП	Энергия (МэВ)
K,K+I	4- 5-	I,4	K,K+I	2- 5-	0,8
K-I,K	8- I-	I,5	K,K+2	5+ 2+	I,4
K,K+2	1- 8-	I,5	K+I,K+2	7- 0-	I,4
K,K+3	6- 3-	I,6	K-I,K+I	6- I-	I,7
K-I,K+I	4+ 3+	I,6	K-I,K	4+ I+	I,7
K-I,K+2	7+ 0+ колл.	I,7	K-2,K+I	I+ 6+	I,8
K-2,K	2- 7-	I,8	K-2,K	I- 4-	I,8
K+I,K+2	3+ 4+	I,8	K-I,K+2	I+ 6+	I,8
K+I,K+3	2+ колл. I+	I,9	K,K+3	2+ колл. I+	2,0
K-2,K+I	2+ колл. 3+	I,9	K+I,K+3	4- 3-	2,0
K+I,K+4	5- 6-	I,9	K+I,K+4	I+ 8+	2,0
K+2,K+3	5+ 2+	2,0			
K-2,K-I	6+ I+	2,0			

K-2=622 $\dagger$ , K-I=624 $\dagger$ , K=734 $\dagger$ , K+I=620 $\dagger$ , K+2=613 $\dagger$ , K+3=622 $\dagger$ , K+4=725 $\dagger$ .      K-2=642 $\dagger$ , K-I=523 $\dagger$ , K=521 $\dagger$ , K+I=633 $\dagger$ , K+2=514 $\dagger$ , K+3=521 $\dagger$ , K+4=624 $\dagger$ .

ТАБЛИЦА II  
Энергетические уровни  $F_{\pi\pi}^{154}$

Коллективные состояния						
КП	Энергия (МэВ)		Структура состояния			
	Расчетн.	Эксперимент.				
2+	0,5	0,692	nn6224+620↑ 36%, nn6131- 611↑ 30%, pp521↑+521↓ 20%			
0+						
Двухквазичастичные состояния						
Состояние	Нейтронные		Протонные			
	КП	Энергия (МэВ)	Состояние	КП	Энергия (МэВ)	
K-I, K	4- 5-	I,5	K, K+I	7- 0-	0,9	
K-I, K+I	I- 8-	I,5	K-I, K+I	5+ 2+	I,0	
K, K+I	3+ 4+	I,5	K-I, K	2- 5-	I,4	
K-I, K+2	6- 3-	I,5	K, K+2	4- 3-	I,5	
K, K+2	2+ колл. I+	I,6	K-I, K+2	2+ колл. I+	I,5	
K, K+3	5- 6-	I,6	K, K+3	I+ 8+	I,5	
K+I, K+2	5+ 2+	I,6	K+I, K+2	3+ 4+	I,6	
K+I, K+3	2- 9-	I,7	K+I, K+3	8- I-	I,7	
K+I, K+4	8+ I+	I,7	K-2, K+I	I+ 6+	I,8	
K+2, K+3	7- 4-	I,7	K+I, K+4	6+ I+	2,0	
K-2, K	3+ 4+	I,8				
K-2, K+I	7+ 0+ колл.	I,8				
K-2, K-I	8- I-	I,8				

K-2=624↑, K-I=734↑, K=620↑, K+I=613↑,.      K-2=523↑, K-I=521↑, K=633↑, K+I=514↑,  
K+2=622↑, K+3=725↑, K+4=615↓ .      K+2=521↑, K+3 =624↑, K+4=512↑ .